

# Aplicação de Árvore de Decisão para Auxílio ao Diagnóstico do Transtorno do Espectro Autista

Matheus Frota<sup>1</sup>, Manoel Vilela<sup>1</sup>, Samuel Hericles<sup>1</sup>, Gerônimo Aguiar<sup>1</sup>,  
Pedro Renoir<sup>1</sup>, Rayon Nunes<sup>1</sup>, Denilson Gomes<sup>1</sup>, Iális Cavalcante<sup>1</sup>

<sup>1</sup>Curso de Engenharia da Computação - Universidade Federal do Ceará (UFC) -  
Campus de Sobral - Caixa Postal 6.050 - 62.010-560 - Sobral - CE - Brazil

**Abstract.** *Machine Learning algorithms are being applied successfully to many areas of knowledge, in the health field, those algorithms allows professionals to be assisted to diagnose diseases and disorders more anticipatedly and more accurately, contributing to the effective treatment of their patients. In this context, the Decision Tree algorithm used in this paper proposes to build a model capable of simplify a complex set of decisions and produce a strategy based on an public and international dataset about the Autism Spectrum Disorder (ASD), allowing to develop a complement in it diagnosis and treatment.*

**Resumo.** *Algoritmos de aprendizado de máquina estão sendo aplicados com sucesso em diversas áreas do conhecimento. No campo da saúde, estes algoritmos abrem espaço para que profissionais possam ser auxiliados a diagnosticar doenças e transtornos antecipadamente e com maior precisão, contribuindo no tratamento eficaz de seus pacientes. Neste contexto, o algoritmo de Árvore de Decisão utilizado neste artigo se propõe a construir um modelo capaz de simplificar um conjunto complexo de decisões e produzir uma estratégia a partir de uma base de dados pública e internacional sobre o Transtorno do Espectro Autista (TEA), permitindo desenvolver um complemento no seu diagnóstico e possível tratamento.*

## 1. Introdução

Desde maio de 2013 os psicólogos e psiquiatras estão utilizando os critérios de avaliação do Manual de Diagnóstico e Estatístico de Transtorno Mentais (conhecido como DSM-5), elaborado pela *American Psychiatric Association* [Speaks 2019]. Os casos anteriormente analisados, utilizando o DSM-IV, que recebiam o diagnóstico de transtorno autista, transtorno de *Aspeger* ou transtorno de desenvolvimento penetrante, que não seja especificado de outra forma, passam a ser nomeados de transtorno do espectro autista, podendo ainda ser caracterizado em 3 (três) diferentes níveis de gravidade. Os sintomas desses transtornos representam um contínuo único de prejuízos às pessoas portadoras, com intensidades variáveis, que vão de leve a grave, nos domínios de comunicação social e de comportamentos restritivos e repetitivos. Este estudo destaca que o transtorno do espectro do autismo (TEA), refere-se a uma ampla gama de condições caracterizadas por desafios com habilidades sociais, comportamentos repetitivos, fala e comunicação não-verbal [APA 2014].

O autismo afeta cerca de 1 em 59 crianças hoje nos Estados Unidos. Dessa forma, estima-se que o Brasil, com seus 200 milhões de habitantes, possua cerca de 3 milhões de

autistas. O autista possui um conjunto distinto de traços comportamentais. As maneiras pelas quais as pessoas com autismo aprendem, pensam e resolvem problemas podem variar de muito qualificadas a severamente desafiadas pela situação [One and Two 2019].

Tendo em vista a problemática de diagnósticaç o do autismo, o presente trabalho prop e um m todo para auxiliar especialistas na busca por um diagn stico junto as informa es necess rias cedidas pelos respons veis, acelerando o procedimento.

O algoritmo   baseado em  rvore de decis o, visando a classifica o das caracter sticas comportamentais em crian as, com um determinado grau de autismo ou n o.   importante destacar a ideia principal, que visa apenas fornecer um aux lio com a previs o ao diagn stico. Caso o resultado seja positivo significa que a crian a pode apresentar algum grau de autismo e, portanto, o especialista pode fazer uso dos resultados desta aplica o como base para o laudo final.

O artigo est  organizado como segue. Na se o 2 descreve-se os trabalhos relacionados   classifica o e TEA. Na se o 3   descrita toda estrutura da base de dados utilizada, apontando os atributos utilizados. A se o 4 aborda toda a fundamenta o te rica do trabalho. Na se o 5 s o apresentados os resultados obtidos, mostrando o gr fico de import ncia das vari veis utilizadas no modelo. Por fim, a se o 6 conclui o trabalho e sugere aplica es futuras.

## **2. Trabalhos relacionados**

Em Brito & Fernandes (2019) foi proposto o uso de redes neurais para classificar crian as com presen a ou n o de TEA. Utilizaram uma base de dados com 259 amostras e com as estrat gias de *cross validation* e *k-fold* para aux lio no treinamento. Os dois modelos comportaram-se bem mas os autores deram como inconclusivo os seus resultados [One and Two 2019].

Processamento de imagens e algoritmos de aprendizado de m quina foram empregados por Liu et al. 2016 para classificar crian as com autismo. Os dados foram de rosto de crian as junto com um conjunto de dados do movimento ocular dessas, por fim obtiveram um acur cia de 88,51% nos resultados [Liu et al. 2016].

## **3. Base de dados**

A base de dados utilizada neste trabalho, dispon vel em [Thabtah 2017], conta com um total de 292 observa es e 21 atributos. Dentre esses atributos, tem 10 vari veis comportamentais que s o descritas na tabela um.

## **4. Fundamenta o te rica**

Nesta se o   mostrado os principais m todos que foram utilizados para a caracteriza o das vari veis em estudo. Destacam-se aqui o m todo de classifica o de  rvore de decis o e a fun o de avalia o *feature importance*.

### **4.1.  rvore de decis o**

Pelo fato das vari veis utilizadas no modelo serem bin rias (sim ou n o), o modelo de  rvore de decis o foi o mais adequado para o trabalho. Pode ser definido como uma estrutura de dados que determina uma classe como um n  folha, um n  decis o que

| Variável  | Descrição   |
|-----------|---|
| A1_Score  | Alta percepção em baixos ruídos que geralmente outros não percebem          |
| A2_Score  | Maior concentração na visão do todo em comparação a pequenos detalhes       |
| A3_Score  | Facilidade de comunicação com várias pessoas diferentes ao mesmo tempo      |
| A4_Score  | Facilidade de fazer múltiplas tarefas simultaneamente                       |
| A5_Score  | Dificuldade de manter uma conversa com seus colegas                         |
| A6_Score  | Facilidade em manter conversas informais                                    |
| A7_Score  | Dificuldade de percepção de intenções e sentimentos em histórias            |
| A8_Score  | Dificuldade de brincar com a imaginação fugindo da realidade                |
| A9_Score  | Facilidade de reconhecer sentimentos a partir de expressões faciais alheias |
| A10_Score | Dificuldade de fazer novas amizades   |
| result    | Soma das características comportamentais avaliadas relacionados ao TEA.     |
| Class/ASD | Decisão do algoritmo sobre a criança pertencer ou não ao espectro autista   |

**Tabela 1. Variáveis comportamentais**

contém algum teste sobre um atributo e, a cada resultado, uma aresta para uma subárvore [Rezende et al. 1999].

Este algoritmo tem algumas vantagens, como reduzir a complexidade do problema em regiões de decisão. É possível aproximar espaços de alta-dimensionalidade em vários níveis da árvore e conjunto de dados com muitas características. Permite-se ainda estimar um agrupamento menor desses em cada nó da árvore para testar com outros subconjuntos para melhorar a performance do algoritmo. Porém, com grandes bases de dados, os erros podem se acumular ao longo dos níveis da árvore de decisão e não podendo otimizar precisão e eficiência ao mesmo tempo [Safavian and Landgrebe 1991].

#### 4.2. Feature importance

O método *feature importance* trata-se do processo de busca das melhores variáveis que descrevem o modelo. A Equação 1 destaca o comportamento dessa medida, com base nas técnicas de *impureza de Gini* ou *redução média das impurezas* que calcula a importância de cada característica de entrada no resultado do modelo [Safavian and Landgrebe 1991]. Com base nisso, é calculado pela soma das frequências das classes sobre o número total delas, como segue:

$$G = \sum_{j=1}^J P_j(1 - P_j), \quad (1)$$

em que  $G$  varia de  $(0,1]$  e representa o grau de importância da variável  $j$  no modelo,  $J$  é a quantidade de classes e  $P$  representa a frequência de uma categoria.

Para uma árvore de decisão, as classes são divididas em nós que são características que classificam as amostras do conjunto de dados. Desse modo, seja  $\hat{\phi}_j(t)$  a frequência de uma classe  $j$  em um nó  $t$ . A impureza de Gini aplicada ao nó  $t$  é definida como [Ishwaran 2015]:

$$\hat{\Gamma}(t) = \sum_{j=1}^J \hat{\phi}_j(t)(1 - \hat{\phi}_j(t)). \quad (2)$$

Logo, cada nó da árvore é avaliado a partir dessa métrica. Com isso, depois de obtido os valores das impurezas de todas as classes, a árvore é rearranjada com base na categoria que possuir o menor resultado, isso irá se repetir até a última classe da base de dados.

## 5. Resultados e testes

Ao aplicar o algoritmo de Árvore de decisão à base de dados, foi possível observar a taxa de erros, a performance e extrair as características mais influentes na decisão do modelo.

### 5.1. Matriz de Correlação

Para a construção de um modelo consistente, faz-se necessário a seleção de variáveis descorrelacionadas entre si, pois dadas duas variáveis análogas, há uma redundância de informações que poderá afetar o desempenho do modelo. Dessa forma, para analisar a correspondência entre as variáveis, desenvolveu-se a matriz de correlação como visto na Figura 1.

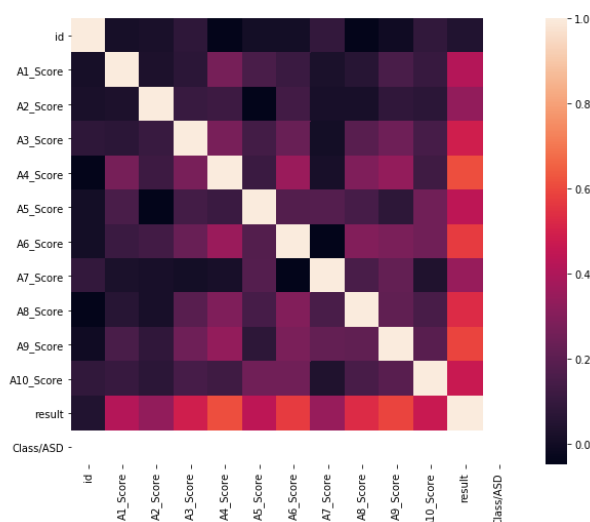


Figura 1. Matriz de Correlação

Em seguida, pode-se observar uma correlação de no máximo que 0,35 em um índice no intervalo absoluto [0, 1], das variáveis de entrada entre si, e um índice mais alto na correlação entre as variáveis de entrada e a variável resposta. Isso indica que as variáveis de entrada não são correlacionadas entre si, e possuem correlação relevante com a variável resposta.

### 5.2. Avaliação das características

De modo a entender como o modelo interpreta a decisão dos dados, deve-se atentar à *feature importance* ilustrada na Figura 2. Esta descreve as variáveis *A4-Score* e *A10-Score* como tendo maior importância em relação às demais. A variável *A6-Score* possui ao final uma baixa influência no resultado do teste.

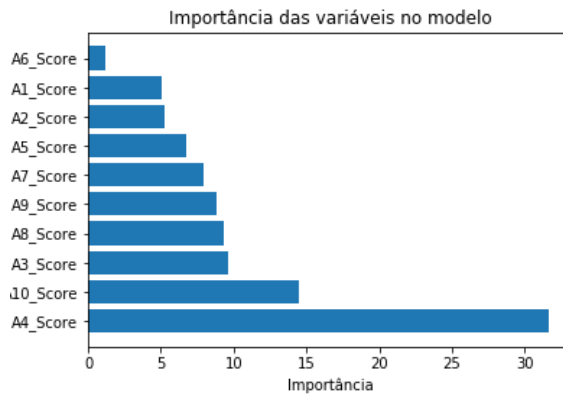


Figura 2. Importância das variáveis no modelo

### 5.3. Modelo e Análise dos dados

Ao submeter a base de dados ao algoritmo de Árvore de Decisão na intenção de prever a variável *Class/ASD*, obtém-se a descrição do modelo de dados como definido na Figura 3. O modelo ilustrado relaciona a classificação obtida pela variável *result* distribuída pela frequência de casos de forma a indicar que os indivíduos que atendem à 7 ou mais características esperadas da TEA necessariamente foram clinicamente diagnosticados com o transtorno.

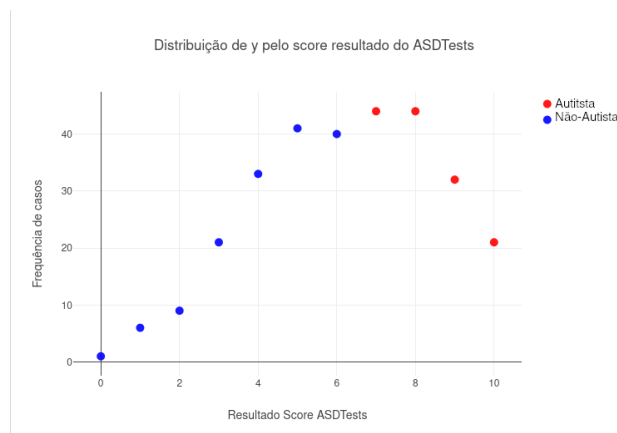


Figura 3. Modelo de análise dos dados

### 5.4. Avaliação da Performance do Modelo

Para evitar que o modelo crie um viés às condições iniciais de implementação, utilizou-se uma validação cruzada do tipo *k-fold* com  $k = 5$ . Além deste tratamento, é necessário avaliar a quantidade de falso-positivos e falso-negativos em uma amostra não observada no treinamento do modelo. Para tal utilizou-se a Matriz de Confusão descrita na Tabela 2. Tomando uma amostragem de 20% dos indivíduos separados para teste do modelo, repetindo o experimento  $k$  vezes de forma com que toda a população possa ser testada. A média de falso-positivos foi de 7,692% enquanto a média de falso-negativos obtida foi de 3,704%.

|             |             |                 |             |
|-------------|-------------|-----------------|-------------|
| Rótulo Real | Autismo     | 26              | 1           |
|             | Não-Autismo | 2               | 27          |
|             |             | Autismo         | Não-Autismo |
|             |             | Rótulo Previsto |             |

**Tabela 2. Matriz de Confusão**

## 6. Conclusão

O algoritmo proposto atingiu uma boa análise da base de dados sobre TEA para auxiliar o diagnóstico por parte dos especialistas. Com este trabalho é possível medir que as variáveis mais discriminantes que apontam ao diagnóstico de TEA consistem na facilidade de fazer múltiplas tarefas simultaneamente (A4) e na dificuldade de fazer novas amizades (A10), sendo relacionadas pela ausência e presença destes traços comportamentais, respectivamente. Ainda é possível concluir a partir do modelo de árvore de decisão que o indivíduo que apresenta correspondência em sete ou mais dos dez traços comportamentais propostos pelo questionário possui fortes indícios de possuir o transtorno em algum espectro do autismo.

Futuramente este trabalho se propõe a aplicar o modelo em outras bases de dados, adequando seus hiperparâmetros para que estes se tornem mais otimizados. Além de comparar este modelo com outros algoritmos de aprendizagem de máquina para avaliar sua performance.

## Referências

- APA, A. P. A. (2014). *DSM-5 - Manual Diagnóstico e Estatístico de Transtornos Mentais*. Artmed.
- Ishwaran, H. (2015). The effect of splitting on random forests. *Machine Learning*, 99(1):75–118.
- Liu, W., Li, M., and Yi, L. (2016). Identifying children with autism spectrum disorder based on their face processing abnormality: A machine learning framework. *Autism Research*, 9(8):888–898.
- One, A. and Two, A. (2019). Análise de desempenho com redes neurais artificiais, arquiteturas MLP e RBF para um problema de classificação de crianças com autismo. *iSys-Brazilian Journal of Information Systems*, 12(1).
- Rezende, S. O., Monard, M. C., and Carvalho, A. C. P. d. L. (1999). Sistemas inteligentes para engenharia: pesquisa e desenvolvimento. *Anais III Workshop de Sistemas Inteligentes para Engenharia*.
- Safavian, S. R. and Landgrebe, D. (1991). A survey of decision tree classifier methodology. *IEEE transactions on systems, man, and cybernetics*, 21(3):660–674.
- Speaks, A. (2019). Autism speaks. <https://www.autismspeaks.org/>. Acesso em: 05/04/2019.
- Thabtah, F. F. (2017). Autistic spectrum disorder screening data for children data set. <https://archive.ics.uci.edu/ml/datasets/Autistic+Spectrum+Disorder+Screening+Data+for+Children++>. Acesso em: 08/07/2019.